



Laboratorium EMVO Sp. J. Urbański, Pawelak

ul. Jasna 1  
00-013 Warszawa

tel. +48 22 780 29 64

e-mail: laboratorium@emvo.pl



AB 1630

## Sprawozdanie z pomiarów pól elektromagnetycznych - środowisko ogólne nr 34/05/OŚ/2021-ELT



Nr i nazwa stacji	BT44465 SKOWRONY	
Adres	Skowrony, dz. nr 38/3, pow. elbląski, woj. warmińsko-mazurskie	
Opracowanie	Wiesław Laskowski	Specjalista ds. pomiarów
Autoryzacja	Andrzej Urbański	Kierownik Laboratorium
Podpis	Podpis jest prawidłowy Dokument podpisany przez Andrzej Urbański Data: 2021.05.25 14:40:11 CEST Powód: Zatwierdzam dokument	
Data	2021-05-24	

„Bez pisemnej zgody Laboratorium niniejsze sprawozdanie nie może być powielane inaczej, jak tylko w całości. Ponadto wyniki dotyczą tylko badanych obiektów przywołanych w niniejszym sprawozdaniu z badań”

## Spis treści

1. Informacje ogólne. ....	3
2. Podstawa prawna. ....	3
3. Opis pomiarów .....	3
4. Zróżnicowanie dopuszczalne poziomy pól elektromagnetycznych.....	4
5. Charakterystyka źródeł PEM.....	5
6. Wyniki pomiarów. ....	5
7. Stwierdzenie zgodności .....	7
8. Oświadczenie.....	8
9. Spis załączników. ....	8

## 1. Informacje ogólne.

Zleceniodawca	Axians Networks Poland Sp. z o.o., ul. Żupnicza 17, 03-821 Warszawa osoba udzielająca informacji – Piotr Miliszkiewicz
Istotne informacje dostarczone przez klienta	komplet informacji niezbędnych do wykonania pomiarów i opracowania sprawozdania
Dane otrzymane od klienta mogące mieć wpływ na ważność wyników	dane anten sektorowych, dane anten radioliniowych, parametry pracy instalacji, poprawka pomiarowa
Prowadzący instalację	Polkomtel Infrastruktura sp. z o.o., ul. Konstruktorska 4, 02-673 Warszawa
Lokalizacja obiektu	Skowrony, dz. nr 38/3, pow. elbląski, woj. warmińsko-mazurskie
Miejsce instalacji anten	wieża kratowa
Miejsce instalacji urządzeń	outdoor
Osoby wykonujące pomiar	Roman Murawski - pomiarowiec
Data wykonania pomiaru	2021-05-24
Temperatura na początku pomiaru [°C]	14
Temperatura na koniec pomiaru [°C]	14,5
Warunki atmosferyczne	brak opadów
Wilgotność na początku pomiaru [%]	64
Wilgotność na koniec pomiaru [%]	59
Inne źródła pól elektromagnetycznych	występują
Tryb pracy urządzeń	eksploatacyjny

## 2. Podstawa prawna.

### 2.1 Normy i rozporządzenia:

- Rozporządzeniem Ministra Klimatu z dnia 17 lutego 2020 r. w sprawie sposobów sprawdzania dotrzymania dopuszczalnych poziomów pól elektromagnetycznych w środowisku (Dz.U. 2020 poz. 258)
- Rozporządzenie Ministra Zdrowia z dnia 17 grudnia 2019 r. w sprawie dopuszczalnych poziomów pól elektromagnetycznych w środowisku (Dz.U. 2019 poz. 2448)
- Obwieszczenie Marszałka Sejmu Rzeczypospolitej Polskiej z dnia 19 lipca 2019 r. w sprawie ogłoszenia jednolitego tekstu ustawy - Prawo ochrony środowiska (Dz.U. 2019 poz. 1396).

## 3. Opis pomiarów

Metodologia pomiarowa	Pomiary w oparciu o Rozporządzeniem Ministra Klimatu z dnia 17 lutego 2020 r. w sprawie sposobów sprawdzania dotrzymania dopuszczalnych poziomów pól elektromagnetycznych w środowisku (Dz.U. 2020 poz. 258), Dokument PCA DAB-18 „Program akredytacji laboratoriów badawczych wykonujących pomiary pola elektromagnetycznego w środowisku” wyd. 1, Warszawa, 02.02.2017 r.
Cel badań	Określenie wartości natężenia pola elektrycznego w miejscach dostępnych dla ludności.

Opis zestawu pomiarowego	<p>Miernik Narda NBM 550, Sonda EF 9091, o zakresie pomiarowym 0,8 V/m – 300V/m pracująca w paśmie 0,1 – 90 GHz, świadectwo wydane przez Laboratorium Wzorców i Metrologii Pola Elektromagnetycznego, Instytut Telekomunikacji, Teleinformatyki i Akustyki Politechniki Wrocławskiej. Świadectwo ważne do 01.06.2022 r.</p> <p>Miernik Narda NBM 550, Sonda EF 9091 pracująca w zakresie temperatury -10°C - +50°C oraz wilgotności 5% - 95%.</p> <p>Niepewność rozszerzona wynosi 58,8% przy poziomie ufności 95% z uwzględnieniem współczynnika rozszerzenia k=2.</p>
Wyposażenie pomocnicze	<p>Termohigrometr Bestone, typ: GM1362-EN-00, nr identyfikacyjny 1222436, świadectwo wzorcowania z dn. 22.12.2015 r. wydane przez Laboratorium Pomiarowe "MUTECH".</p> <p>Przymiar wstęgowy STABILA, nr identyfikacyjny 5/WL/2016, świadectwo wzorcowania z dn. 06.09.2016 r. wydane przez Zespół Laboratoriów wzorcujących Okręgowego Urzędu Miar w Gdańsku.</p> <p>GPS Garmin 64s okresowo sprawdzany w punktach osnowy geodezyjnej klasy 3 na podstawie licencji punktu, zgodnie z procedurą sprawdzeń okresowych IS/PO-16-11/03.</p>
Pomiary zostały wykonane	<ol style="list-style-type: none"> <li>na głównych i pomocniczych kierunkach pomiarowych, na kierunkach zbliżonych do azymutów anten oraz w dodatkowych pionach pomiarowych zgodnie z wymaganiami pkt 12, 13, 14 i 19 załącznika do rozporządzenia Ministra Klimatu z dnia 17 lutego 2020 r. (Dz. U. 2020, poz. 258),</li> <li>na obszarze pomiarowym, dla którego, na podstawie uprzednio wykonanych obliczeń uzyskanych od zleceniodawcy, stwierdzono możliwość występowania pól elektromagnetycznych o poziomach zbliżonych do poziomów dopuszczalnych zgodnie z wymaganiami pkt 5 ppkt 2 oraz pkt 13 ppkt 1 załącznika do rozporządzenia Ministra Klimatu z dnia 17 lutego 2020 r. (Dz. U. 2020, poz. 258). Wyniki obliczeń nie uwzględniały parametrów pracy instalacji innych operatorów występujących na obiekcie bądź w obszarze pomiarowym.</li> <li>w miejscach dostępnych dla ludności.</li> <li>miejsca niedostępne podczas wykonywania pomiarów wskazane zostały w pkt 6 (tabeli wyniki pomiarów)</li> <li>wyniki pomiarów uzyskane zostały przy uwzględnieniu poprawek pomiarowych przekazanych przez zleceniodawcę oraz przy rzeczywistych warunkach pracy instalacji innych operatorów (w przypadku występowania). W takiej sytuacji uwzględniono jednolitą poprawkę pomiarową wynoszącą 2.</li> </ol>
Szczególne warunki podczas wykonywania pomiarów	<p>Pomiary wykonane zostały podczas obowiązywania w kraju stanu epidemii, zgodnie z art. 122a ust. 1b Ustawy z dnia 27 kwietnia 2001 r. – Prawo ochrony środowiska (Dz. U. z 2019 r. poz. 1396, z późn. zm.9))</p>
Warunki pracy urządzeń nadawczych	<p>Podczas pomiarów zostały uwzględnione poprawki pomiarowe przekazane przez zleceniodawcę, umożliwiające uwzględnienie maksymalnych parametrów pracy instalacji zgodnie z pkt 7 załącznika do Rozporządzeniem Ministra Klimatu z dnia 17 lutego 2020 r. w sprawie sposobów sprawdzania dotrzymania dopuszczalnych poziomów pól elektromagnetycznych w środowisku (Dz. U. 2020, poz. 258).</p>

#### 4. Zróżnicowanie dopuszczalne poziomy pól elektromagnetycznych.

Zakresy znajdują się w Dzienniku Ustaw z dnia 17 grudnia 2019 r. przedstawione są w tabeli nr 2 (Dz. U. z 2019 r. poz. 2448).

Zakres częstotliwości pola elektromagnetycznego	Parametr fizyczny		
	Składowa elektryczna E (V/m)	Składowa magnetyczna H (A/m)	Gęstość mocy S (W/m <sup>2</sup> )
od 400 MHz do 2000 MHz	$1,375 \times f^{0,5}$	$0,0037 \times f^{0,5}$	f / 200
od 2 GHz do 300 GHz	61	0,16	10

„Bez pisemnej zgody Laboratorium niniejsze sprawozdanie nie może być powielane inaczej, jak tylko w całości. Ponadto wyniki dotyczą tylko badanych obiektów przywołanych w niniejszym sprawozdaniu z badań”

## 5. Charakterystyka źródeł PEM.

Zgodnie z informacją otrzymaną od klienta pomiary zostały wykonane przy ustawieniach pochylenia anten zgodnych z pkt. 13, ppkt 2 załącznika do rozporządzenia Ministra Klimatu z dnia 17 lutego 2020 roku.

Tabela 1. Anteny sektorowe - dane otrzymane od klienta

Typ anteny	Współrzędne geograficzne	Azymut [°]	Wysokość zawieszenia anten (środek elektr. anteny) n.p.t. [m]	Pasma częstotliwości	Zakres pochylenia elektrycznego [°]	Srednie pochylenie anten (ustawione do pomiarów PEM) [°]	Pochylenie mechaniczne [°]	EIRP [W]	EIRP (suma) [W]
80010306V02	54°03'52.10"N 19°53'11.60"E	50	60	900	0,5-9,5	5,5	0	6850	6850
A794517R0V06	54°03'52.10"N 19°53'11.60"E	160	70,7	900	0-10	5,5	0	6694	6694
80010306V02	54°03'52.10"N 19°53'11.60"E	290	60	900	0,5-9,5	5,5	0	6850	6850
741516	54°03'52.10"N 19°53'11.60"E	0	71	420	0-0	0	0	1471	1471
741516	54°03'52.10"N 19°53'11.60"E	120	71	420	0-0	0	0	1471	1471
741516	54°03'52.10"N 19°53'11.60"E	240	71	420	0-0	0	0	1471	1471
120125	54°03'52.10"N 19°53'11.60"E	50	60	1800/ 2600	1-10/ 1-10	5,5	0	5167/ 8124	13291
120125	54°03'52.10"N 19°53'11.60"E	160	70,7	1800/ 2600	1-10/ 1-10	5,5	0	5167/ 8124	13291
120125	54°03'52.10"N 19°53'11.60"E	290	60	1800/ 2600	1-10/ 1-10	5,5	0	5167/ 8124	13291

Tabela 2. Anteny radioliniowe - dane otrzymane od klienta

Typ anteny	Współrzędne geograficzne	Azymut [°]	Średnica [m]	Pasma częstotliwości [GHz]	Zysk energetyczny [dBi]	Moc wyjściowa nadajnika [dBm]	EIRP [W]	Wysokość zawieszenia (środek elektryczny anteny) n.p.t. [m]
UKY 210 43/SC15	54°03'52.10"N 19°53'11.60"E	7	1,2	18 D2	44,6	12	457,1	65,3
ANT3 B 1.2 13 HPX	54°03'52.10"N 19°53'11.60"E	38	1,2	13	41,9	24	3890,5	63,3
ANT3 B 1.2 13 HPX	54°03'52.10"N 19°53'11.60"E	72	1,2	13	41,9	20	1548,8	67,3

## 6. Wyniki pomiarów.

Wyniki pomiarów pól elektromagnetycznych dla celów ochrony środowiska przedstawia poniższa tabela. Piony pomiarowe zostały przedstawione w zał. 2.

Nr PP	Pole-E [V/m]	Pole-E *k <sub>c</sub> +U [V/m]	Pole-H [A/m]	Pole-H *k <sub>c</sub> +U [A/m]	Wysokość pomiaru [m]	Współrzędne PP x, y	Opis PP	WM <sub>E</sub>	WM <sub>H</sub>
1	< 0,8	< 2,54	< 0,002	< 0,007	0,3 - 2,0	54°03'56,0"N 19°53'11,7"E	otoczenie stacji bazowej - 120 m wzdłuż gł. osi promieniowania - GKP	< 0,065	< 0,065
2	< 0,8	< 2,54	< 0,002	< 0,007	0,3 - 2,0	54°03'59,8"N 19°53'11,7"E	otoczenie stacji bazowej - 240 m wzdłuż gł. osi promieniowania - GKP	< 0,065	< 0,065
3	< 0,8	< 2,54	< 0,002	< 0,007	0,3 - 2,0	54°04'03,7"N 19°53'11,7"E	otoczenie stacji bazowej - 360 m wzdłuż gł. osi promieniowania - GKP	< 0,056	< 0,055
4	0,8	2,16	0,002	0,006	1,1	54°04'07,6"N 19°53'11,7"E	otoczenie stacji bazowej - 480 m wzdłuż gł. osi promieniowania - GKP	0,056	0,055
5	1,0	2,70	0,003	0,007	1,0	54°04'11,5"N 19°53'11,7"E	otoczenie stacji bazowej - 600 m wzdłuż gł. osi promieniowania - GKP	0,070	0,068

Nr PP	Pole-E [V/m]	Pole-E *k <sub>E</sub> +U [V/m]	Pole-H [A/m]	Pole-H *k <sub>E</sub> +U [A/m]	Wysokość pomiaru [m]	Współrzędne PP x, y	Opis PP	WM <sub>E</sub>	WM <sub>H</sub>
6	< 0,8	< 2,16	< 0,002	< 0,006	0,3 - 2,0	54°04'15,4"N 19°53'11,7"E	otoczenie stacji bazowej - 720 m wzdłuż gł. osi promieniowania - GKP	< 0,056	< 0,055
7	< 0,8	< 2,54	< 0,002	< 0,007	0,3 - 2,0	54°03'54,5"N 19°53'16,7"E	otoczenie stacji bazowej - 120 m wzdłuż gł. osi promieniowania - GKP	< 0,065	< 0,065
8	< 0,8	< 2,54	< 0,002	< 0,007	0,3 - 2,0	54°03'37,0"N 19°53'21,8"E	otoczenie stacji bazowej - 240 m wzdłuż gł. osi promieniowania - GKP	< 0,065	< 0,065
9	< 0,8	< 2,54	< 0,002	< 0,007	0,3 - 2,0	54°03'59,4"N 19°53'26,9"E	otoczenie stacji bazowej - 360 m wzdłuż gł. osi promieniowania - GKP	< 0,065	< 0,065
10	< 0,8	< 2,54	< 0,002	< 0,007	0,3 - 2,0	54°04'01,9"N 19°53'32,1"E	otoczenie stacji bazowej - 480 m wzdłuż gł. osi promieniowania - GKP	< 0,065	< 0,065
11	1,1	2,97	0,003	0,008	1,5	54°04'04,3"N 19°53'37,1"E	otoczenie stacji bazowej - 600 m wzdłuż gł. osi promieniowania - GKP	0,077	0,075
12	1,4	3,78	0,004	0,010	1,4	54°04'06,8"N 19°53'42,2"E	otoczenie stacji bazowej - 720 m wzdłuż gł. osi promieniowania - GKP	0,097	0,096
13	< 0,8	< 2,54	< 0,002	< 0,007	0,3 - 2,0	54°03'50,1"N 19°53'17,2"E	otoczenie stacji bazowej - 120 m wzdłuż gł. osi promieniowania - GKP	< 0,065	< 0,065
14	< 0,8	< 2,54	< 0,002	< 0,007	0,3 - 2,0	54°03'48,0"N 19°53'22,8"E	otoczenie stacji bazowej - 240 m wzdłuż gł. osi promieniowania - GKP	< 0,065	< 0,065
15	< 0,8	< 2,54	< 0,002	< 0,007	0,3 - 2,0	54°03'46,0"N 19°53'28,5"E	otoczenie stacji bazowej - 360 m wzdłuż gł. osi promieniowania - GKP	< 0,065	< 0,065
16	< 0,8	< 2,54	< 0,002	< 0,007	0,3 - 2,0	54°03'43,9"N 19°53'34,1"E	otoczenie stacji bazowej - 480 m wzdłuż gł. osi promieniowania - GKP	< 0,065	< 0,065
17	0,8	2,54	0,002	0,007	1,0	54°03'41,9"N 19°53'39,7"E	otoczenie stacji bazowej - 600 m wzdłuż gł. osi promieniowania - GKP	0,065	0,064
18	0,9	2,86	0,002	0,008	1,6	54°03'39,9"N 19°53'45,3"E	otoczenie stacji bazowej - 720 m wzdłuż gł. osi promieniowania - GKP	0,074	0,072
19	< 0,8	< 2,54	< 0,002	< 0,007	0,3 - 2,0	54°03'48,4"N 19°53'13,6"E	otoczenie stacji bazowej - 120 m wzdłuż gł. osi promieniowania - GKP	< 0,065	< 0,065
20	< 0,8	< 2,54	< 0,002	< 0,007	0,3 - 2,0	54°03'44,7"N 19°53'15,7"E	otoczenie stacji bazowej - 240 m wzdłuż gł. osi promieniowania - GKP	< 0,065	< 0,065
21	1,0	3,18	0,003	0,008	1,1	54°03'33,7"N 19°53'22,0"E	otoczenie stacji bazowej - 600 m wzdłuż gł. osi promieniowania - GKP	0,082	0,081
22	1,1	3,49	0,003	0,009	0,9	54°03'30,0"N 19°53'24,0"E	otoczenie stacji bazowej - 720 m wzdłuż gł. osi promieniowania - GKP	0,090	0,089
23	< 0,8	< 2,54	< 0,002	< 0,007	0,3 - 2,0	54°03'50,1"N 19°53'05,9"E	otoczenie stacji bazowej - 120 m wzdłuż gł. osi promieniowania - GKP	< 0,065	< 0,065
24	< 0,8	< 2,54	< 0,002	< 0,007	0,3 - 2,0	54°03'47,1"N 19°53'00,2"E	otoczenie stacji bazowej - 240 m wzdłuż gł. osi promieniowania - GKP	< 0,065	< 0,065
25	0,8	2,16	0,002	0,006	1,8	54°03'46,1"N 19°52'54,5"E	otoczenie stacji bazowej - 360 m wzdłuż gł. osi promieniowania - GKP	0,056	0,055
26	0,8	2,16	0,002	0,006	1,5	54°03'44,2"N 19°52'48,8"E	otoczenie stacji bazowej - 480 m wzdłuż gł. osi promieniowania - GKP	0,056	0,055
27	1,0	2,70	0,003	0,007	1,2	54°03'42,2"N 19°52'43,2"E	otoczenie stacji bazowej - 600 m wzdłuż gł. osi promieniowania - GKP	0,070	0,068
28	0,9	2,43	0,002	0,006	1,6	54°03'40,2"N 19°52'37,6"E	otoczenie stacji bazowej - 720 m wzdłuż gł. osi promieniowania - GKP	0,063	0,062
29	< 0,8	< 2,54	< 0,002	< 0,007	0,3 - 2,0	54°03'53,3"N 19°53'05,3"E	otoczenie stacji bazowej - 120 m wzdłuż gł. osi promieniowania - GKP	< 0,065	< 0,065
30	< 0,8	< 2,54	< 0,002	< 0,007	0,3 - 2,0	54°03'54,5"N 19°52'59,0"E	otoczenie stacji bazowej - 240 m wzdłuż gł. osi promieniowania - GKP	< 0,065	< 0,065
31	1,0	2,70	0,003	0,007	1,2	54°03'55,8"N 19°52'52,8"E	otoczenie stacji bazowej - 360 m wzdłuż gł. osi promieniowania - GKP	0,070	0,068
32	0,8	2,16	0,002	0,006	1,6	54°03'57,0"N 19°52'46,5"E	otoczenie stacji bazowej - 480 m wzdłuż gł. osi promieniowania - GKP	0,056	0,055
33	1,1	2,97	0,003	0,008	1,1	54°03'58,2"N 19°52'40,2"E	otoczenie stacji bazowej - 600 m wzdłuż gł. osi promieniowania - GKP	0,077	0,075

Nr PP	Pole-E [V/m]	Pole-E *k <sub>E</sub> +U [V/m]	Pole-H [A/m]	Pole-H *k <sub>E</sub> +U [A/m]	Wysokość pomiaru [m]	Współrzędne PP x, y	Opis PP	WM <sub>E</sub>	WM <sub>H</sub>
34	1,0	2,70	0,003	0,007	0,9	54°03'59,4"N 19°52'34,0"E	otoczenie stacji bazowej - 720 m wzdłuż gł. osi promieniowania - GKP	0,070	0,068
35	< 0,8	< 2,54	< 0,002	< 0,007	0,3 - 2,0	54°03'59,7"N 19°53'13,6"E	otoczenie stacji bazowej - 240 m wzdłuż gł. osi promieniowania - GKP	< 0,065	< 0,065
36	< 0,8	< 2,54	< 0,002	< 0,007	0,3 - 2,0	54°03'57,9"N 19°53'20,2"E	otoczenie stacji bazowej - 240 m wzdłuż gł. osi promieniowania - GKP	< 0,065	< 0,065
37	< 0,8	< 2,54	< 0,002	< 0,007	0,3 - 2,0	54°03'53,7"N 19°53'24,5"E	otoczenie stacji bazowej - 240 m wzdłuż gł. osi promieniowania - GKP	< 0,065	< 0,065
A	< 0,8	< 2,54	< 0,002	< 0,007	0,3 - 2,0	54°03'58,0"N 19°53'24,0"E	Skowrony 9, pomiar przy budynku - DPP	< 0,065	< 0,065
B	< 0,8	< 2,54	< 0,002	< 0,007	0,3 - 2,0	54°04'00,0"N 19°53'28,3"E	Skowrony 56, pomiar przy budynku - DPP	< 0,065	< 0,065
C	< 0,8	< 2,54	< 0,002	< 0,007	0,3 - 2,0	54°03'40,0"N 19°53'17,7"E	Skowrony 27, pomiar przy budynku - DPP	< 0,065	< 0,065
D	0,8	2,54	0,002	0,007	1,5	54°03'37,2"N 19°53'19,7"E	Skowrony 32, pomiar przy budynku - DPP	0,065	0,064
E	< 0,8	< 2,54	< 0,002	< 0,007	0,3 - 2,0	54°03'53,6"N 19°53'18,9"E	Skowrony 14, pomiar przy budynku - DPP	< 0,065	< 0,065
F	< 0,8	< 2,54	< 0,002	< 0,007	0,3 - 2,0	54°03'55,3"N 19°53'22,3"E	Skowrony 13, pomiar przy budynku - DPP	< 0,065	< 0,065
G	< 0,8	< 2,54	< 0,002	< 0,007	0,3 - 2,0	54°03'52,0"N 19°53'12,9"E	budynek gospodarczy, pomiar przy budynku - DPP	< 0,065	< 0,065
H	< 0,8	< 2,54	< 0,002	< 0,007	0,3 - 2,0	54°03'46,8"N 19°53'26,1"E	Skowrony 43, pomiar przy budynku - DPP	< 0,065	< 0,065

Wynik pomiaru pole - E [V/m] - maksymalna wartość chwilowa zmierzona w danych pionie pomiarowym.

Przyjęto najniższą dopuszczalną wartość składowej elektrycznej pola dla objętego pomiarami zakresu częstotliwości min(MEgr)= 38,8 V/m oraz składowej magnetycznej min(MHgr)= 0,105 A/m.

\* - poniżej czułości zestawu pomiarowego

GKP - główne kierunki pomiarowe

PKP - pomocnicze kierunki pomiarowe

DPP - dodatkowe punkty pomiarowe

PP - pion pomiarowy

U - niepewność rozszerzona wynosi 58,8% przy poziomie ufności 95% z uwzględnieniem współczynnika rozszerzenia k=2.

k<sub>E</sub> - poprawka pomiarowa badanej instalacji radiokomunikacyjnej podana przez operatora (k<sub>E</sub>=1,7),  
poprawka pomiarowa w przypadku oddziaływania innych instalacji radiokomunikacyjnych na badany obszar (k<sub>E</sub>=2,0)

WM<sub>E</sub> - wartość wskaźnikowa poziomu emisji pól elektromagnetycznych dla miejsc dostępnych dla ludności dla składowej elektrycznej pola

WM<sub>H</sub> - wartość wskaźnikowa poziomu emisji pól elektromagnetycznych dla miejsc dostępnych dla ludności dla składowej magnetycznej pola

## 7. Stwierdzenie zgodności

Na podstawie wytycznych podanych w Rozporządzeniu Ministra Zdrowia z dnia 17 grudnia 2019 r. w sprawie dopuszczalnych poziomów pól elektromagnetycznych w środowisku (Dz.U. 2019 poz. 2448) oraz sposobów sprawdzania dotrzymania tych poziomów zgodnie z Rozporządzeniem Ministra Klimatu z dnia 17 lutego 2020 r. w sprawie sposobów sprawdzania dotrzymania dopuszczalnych poziomów pól elektromagnetycznych w środowisku (Dz.U. 2020 poz. 258) dotyczących źródła wymagań, które muszą być spełnione (załącznik do rozporządzenia Ministra Klimatu z dnia 17 lutego 2020 r. (poz. 258)), w oparciu o zasadę podejmowania decyzji zgodną z pkt 26 załącznika do rozporządzenia Ministra Klimatu z dnia 17 lutego 2020 r. (poz. 258), na podstawie wyników pomiarów pól elektromagnetycznych wykonanych w dniu 24.05.2021 stwierdzono, iż w miejscach dostępnych dla ludności, dopuszczalne poziomy pól elektromagnetycznych w środowisku, określone w przepisach wydanych na podstawie art. 122 ust. 1 ustawy z dnia 27 kwietnia 2001 r. – Prawo ochrony środowiska, uznaje się za dotrzymane w obszarze pomiarowym, w którym w wyniku zastosowania sposobu sprawdzenia dotrzymania dopuszczalnych poziomów pól elektromagnetycznych w środowisku, udokumentowano, że żadna z wartości wskaźnikowych nie przekracza wartości 1.

## 8. Oświadczenie.

Wyniki badania odnoszą się wyłącznie do badanego obiektu.

Bez pisemnej zgody sprawozdanie nie może być powielane inaczej, jak tylko w całości.

Uwagi i zastrzeżenia przyjmowane są w formie pisemnej w ciągu 14 dni od daty otrzymania sprawozdania.

## 9. Spis załączników.

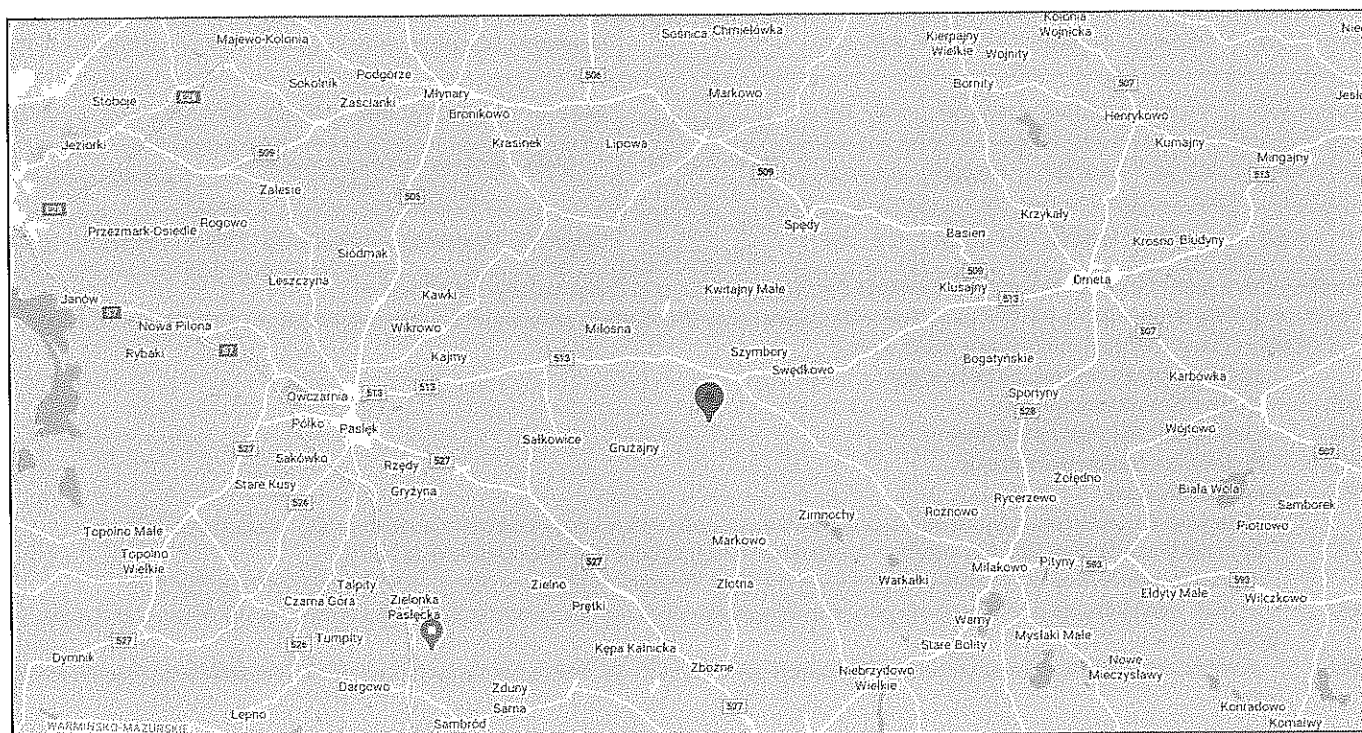
Zał. 1. Lokalizacja obiektu.

Zał. 2. Widok pionów pomiarowych

Zał. 3. Widok stacji bazowej

**Koniec sprawozdania**

### Zał. 1. Lokalizacja obiektu





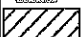


Współrzędne geograficzne	
długość:	19°53'11.60"E
szerokość:	54°03'52.10"N





Załącznik 2. Widok pionów pomiarowych



LEGENDA:

-  instalacja radiokomunikacyjna
  -  inna instalacja radiokomunikacyjna
  -  brak dostępu
  -  pion pomiarowy ze współczynnikiem podanym przez operatora
  -  pion pomiarowy w zasięgu innej instalacji radiokomunikacyjnej ze współczynnikiem 2
- Odległość, do której zostały wykonane pomiary, mierząc od instalacji antenowej, wynosi min. 710 m

-  az antena sektorowa
-  az antena radioliniowa

Skala 1: 8000

### Załącznik 3. Załączniki graficzne

